

СООБЩЕНИЯ  
ОБЪЕДИНЕННОГО  
ИНСТИТУТА  
ЯДЕРНЫХ  
ИССЛЕДОВАНИЙ

ДУБНА



СЗУ/а

М-14

8/IV-74

P4 - 7690

1383/2-74

Ф.-Р.Май, Л.Мюнхов, С.Фрауендорф

ФЕНОМЕНОЛОГИЧЕСКОЕ ОПИСАНИЕ  
РОТАЦИОННЫХ ПОЛОС НЕЧЕТНЫХ ЯДЕР  
В РАМКАХ МЕТОДА ПРОЕЦИРОВАНИЯ

**1974**

ЛАБОРАТОРИЯ  
ТЕОРЕТИЧЕСКОЙ ФИЗИКИ

P4 - 7690

Ф.-Р.Май\*, Л.Мюнхов\*, С.Фрауендорф

**ФЕНОМЕНОЛОГИЧЕСКОЕ ОПИСАНИЕ  
РОТАЦИОННЫХ ПОЛОС НЕЧЕТНЫХ ЯДЕР  
В РАМКАХ МЕТОДА ПРОЕЦИРОВАНИЯ**

Объединенный институт  
ядерных исследований  
БИБЛИОТЕКА

---

\* Центральный институт ядерных исследований  
АН ГДР, Россендорф.

## 1. Введение

Известно, что метод проецирования на состояния с определенным угловым моментом <sup>/1/</sup> позволяет получить феноменологические выражения для спектров и вероятностей переходов вращательных полос в четно-четных деформированных ядрах <sup>/2-5/</sup>. В этих работах предложена двухпараметрическая формула для спектра, с помощью которой удастся хорошо описать длинные регулярные ротационные полосы с  $K^\pi = 0^+$  в деформированных ядрах, а также квазиротационные полосы в переходных ядрах. Входящие в формулу два параметра  $h_{1c}$  и  $\Delta\beta_c^2$  определяются из положения уровней  $2^+$  и  $4^+$ . При этом отношение  $-2/h_{1c} \Delta\beta_c^4$  является моментом инерции и  $\Delta\beta_c^2$  определяет неадиабатичность спектра.

В данной статье рассматривается обобщение этого подхода для случая нечетных ядер. При этом возникает третий параметр  $a_{\text{FF}}$ , представляющий собой обобщение известного коэффициента развязывания в полосах с  $K = 1/2$  в нечетных ядрах. Оказывается, что таким образом можно лучше описать положения уровней для большого числа полос в нечетных ядрах, чем с помощью обычно используемого разложения Бора и Моттельсона <sup>/6/</sup>.

## 2. Обсуждение метода описания четно-четного остова

Неадиабатические эффекты во вращательных полосах нечетных ядер возникают вследствие зависимости от углового момента как состояний четно-четного остова, так и состояния нечетной частицы. В этой статье мы предлагаем модель, в которой в явном виде учитывается

неадиабатическое поведение остова. Заметим, что наша модель успешно применяется также и в тех многочисленных случаях, когда имеется смешивание полос с разными проекциями углового момента  $K$  на ось симметрии. Этот вопрос будет обсуждаться в разделе 4.

Для описания остова мы применяем метод, предложенный в работах <sup>/2-5/</sup> для четно-четных ядер. Представим кратко некоторые черты этого метода, особенно важные при обобщении для нечетных ядер, описанном в следующем разделе.

Состояния ротационной полосы с  $K^\pi=0^+$  в четно-четных ядрах получают проекцированием деформированного состояния  $\Phi_0$ , которое имеет проекцию углового момента на ось симметрии, равную нулю

$$|IM\rangle = P_{M0}^I |\Phi_0\rangle.$$

Спектр полосы определяется выражением

$$E_I = \frac{\langle IM | H | IM \rangle}{\langle IM | IM \rangle} = \frac{\int_0^\pi d\beta \sin \beta d_{00}^I(\beta) h(\beta) n(\beta)}{\int_0^\pi d\beta \sin \phi \beta d_{00}^I(\beta) n(\beta)}. \quad /1a/$$

Здесь использован явный вид оператора  $P_{M0}^I$ , который дается ниже /см. /3//. Интегралы перекрытия определяются выражением

$$n(\beta) = \langle \Phi_0 | R_y(\beta) | \Phi_0 \rangle, \quad h(\beta) = \langle \Phi_0 | HR_y(\beta) | \Phi_0 \rangle, \quad /1b/$$

где  $R_y(\beta)$  - ротационный оператор. Как показано в работе <sup>/3/</sup>, справедлива следующая аппроксимация:

$$n(\beta) = \exp\left(-\frac{\sin^2 \beta}{\Delta \beta_c}\right), \quad h(\beta) = h_{0c} + h_{1c} \sin^2 \beta, \quad /2a/$$

где

$$1/\Delta \beta_c^2 = \frac{1}{2} \langle \Phi_0 | J_y^2 | \Phi_0 \rangle, \quad h_{0c} = \langle \Phi_0 | H | \Phi_0 \rangle,$$

$$h_{1c} = -\frac{1}{2} (\langle \Phi_0 | H J_y^2 | \Phi_0 \rangle - \langle \Phi_0 | H | \Phi_0 \rangle \langle \Phi_0 | J_y^2 | \Phi_0 \rangle), \quad /2b/$$

а  $J_y$  - проекция углового момента на ось  $y$ . Основная идея феноменологического подхода заключается в следующем. Мы аппроксимируем интегралы перекрытия  $n(\beta)$  и  $h(\beta)$  с помощью выражения /2a/, но интегралы  $\int d_{00}^I(\beta)$  в /1/ вычисляются точно. Параметры  $h_{1c}$  и  $\Delta \beta_c^2$  найдем из подгонки теоретических значений энергии полосы к экспериментальным.

Важно отметить, что здесь мы не используем разложение по степеням параметра адиабатичности  $I \Delta \beta_c^2$ , которое может расходиться при больших значениях спина  $I$ .

Параметр  $\Delta \beta_c^2$  является мерой неадиабатичности ядра относительно возмущения, вызываемого вращением, а произведение  $I \Delta \beta_c^2$  определяет отклонение вращательной энергии от ее адиабатического значения.

Может показаться удивительным, что генерирование волновых функций ротационной полосы проекцированием одного и того же деформированного состояния дает описание неадиабатического поведения энергетических уровней этой полосы. В работе <sup>/7/</sup> предлагается объяснение этого обстоятельства, которое вкратце сводится к следующему. Деформированное состояние  $\Phi_0$  описывает не только движение по внутренним, невращательным степеням свободы, но также и колебания по углам Эйлера  $\alpha, \beta, \gamma$  распределения нуклонов в деформированном и фиксированном в пространстве потенциале. В адиабатическом пределе эти два вида движения не связаны между собой. Гамильтониан является суммой внутреннего неротационного гамильтониана и гамильтониана  $H(\alpha, \beta; \gamma)$ , описывающего колебания по углам Эйлера. Деформированное состояние  $\Phi_0$  представляет собой произведение волновой функции, описывающей движение в неротационных степенях свободы, и функции, описывающей основное состояние гамильтониана  $H(\alpha, \beta; \gamma)$ . В этом случае проектирование на компоненту с данным угловым моментом генерирует состояния полосы с одним и тем же внутренним движением.

Когда адиабатическое приближение нарушается, благодаря связи внутреннего движения с вращением, деформированное состояние  $\Phi_0$  приобретает примеси возбужденных состояний гамильтониана  $H(\alpha, \beta, \gamma)$  и примеси других состояний внутреннего движения. Тогда  $\Phi_0$  описывает связь внутренних степеней свободы не с действительным вращением, а с такого рода вращательными колебаниями в фиксированном деформированном потенциале, которое является волновым пакетом состояний с различными угловыми моментами. Информация о таком "статическом неадиабатическом" поведении заключается в интегралах перекрытия  $p(\beta)$  и  $h(\beta)$ , которые, согласно работе /3/, хорошо аппроксимируются параметризацией /2a/.

Теперь допустим, что нам известны точные состояния  $\Psi_I$  исследуемой вращательной полосы. Пусть состояние  $\Phi_{\text{мод}}$  построено так, что оно представляет собой локализованный по углам волновой пакет из этих состояний полосы  $\Phi_{\text{мод}} = \sum_I c_I \Psi_I$ .

Естественно, что точные состояния полосы получают проецированием из  $\Phi_{\text{мод}}$  компоненты с данным угловым моментом. При этом возникают интегралы перекрытия  $p_{\text{мод}}(\beta)$  и  $h_{\text{мод}}(\beta)$ , определяемые выражением /1б/ с  $\Phi_{\text{мод}}$  вместо  $\Phi_0$ . Спиновая зависимость внутренней части движения, обусловленная неадиабатичностью, влияет через состояния  $\Psi_I$  на интегралы перекрытия  $p_{\text{мод}}(\beta)$  и  $h_{\text{мод}}(\beta)$ . Полная информация о неадиабатичности спектра полосы заключена в интегралах перекрытия.

Основное предположение в нашем подходе состоит в том, что можно построить  $\Phi_{\text{мод}}$  таким образом, чтобы параметризация /2a/ была для  $p_{\text{мод}}(\beta)$  и  $h_{\text{мод}}(\beta)$  таким же хорошим приближением, как и для  $p(\beta)$  и  $h(\beta)$ , построенным на основе  $\Phi_0$ . Это кажется разумным, поскольку матричные элементы, генерирующие "неадиабатические" эффекты в деформированном состоянии  $\Phi_0$ , т.е. связь с "духовыми состояниями", оказываются подобными реальным матричным элементам, описывающим связь между вращением и внутренним движением /7/.

Так как структура деформированного состояния  $\Phi_0$  используется нами только для предположения о виде

$p_{\text{мод}}(\beta)$  и  $h_{\text{мод}}(\beta)$ , нельзя ожидать, что прямые вычисления по формуле /2б/ параметров  $h_{1c}$ , и в особенности  $\Delta\beta_c^2$ , на основе некоторого реального деформированного состояния  $\Phi_0$  дадут соответствующие параметры, полученные в результате подгонки теоретических значений энергии вращательной полосы к экспериментальным.

Приближение /2a/ предполагает плавную зависимость неадиабатических эффектов от спина. В этом смысле наш подход по своему физическому содержанию эквивалентен модели переменного момента инерции /8/.

Приближение /2a/ оказывается неприменимым, если при некотором критическом значении спина происходит резкое изменение момента инерции /например, в недавно открытых нерегулярных вращательных полосах /9/ /.

В дальнейшем, будем различать  $p_{\text{мод}}(\beta)$  и  $h_{\text{мод}}(\beta)$  - с одной стороны, и  $p(\beta)$  и  $h(\beta)$  - с другой.

### 3. Формулировка модели для нечетных ядер

Опишем состояния ротационной полосы собственными функциями углового момента

$$|IMK\rangle = P_{MK}^I |\Phi_{K\sigma}\rangle = N_{IK}^{-1/2} \int d\omega D_{MK}^{I*}(\omega) R(\omega) |\Phi_{K\sigma}\rangle, \quad /3/$$

где  $N_{IK}$  - нормировочная константа,  $\omega = \{\alpha, \beta, \gamma\}$  - углы Эйлера,  $D_{MK}^I(\omega)$  - матрица вращения,  $R(\omega) = \exp(-i\alpha J_z) \times \exp(-i\beta J_y) \exp(-i\gamma J_z)$  - оператор вращения и  $J_x, J_y, J_z$  - составляющие оператора полного углового момента. Квантовое число  $K$  обозначает проекцию углового момента на ось симметрии ядра, остальные квантовые числа обозначены через  $\sigma$ . Для нечетных ядер мы предполагаем, что деформированное состояние  $\Phi_{K\sigma}$  является одноквазичастичным

$$|\Phi_{K\sigma}\rangle = a_{K\sigma}^+ |\Phi_0\rangle. \quad /4/$$

Оператор  $a_{K\sigma}^+$  рождает частицу на одночастичном уров-

не  $K, \sigma$ , а волновая функция  $\Phi_0$  описывает четно-четный остов. В нашем приближении она является волновой функцией типа БКШ с блокировкой уровня  $K\sigma$ . Спектр рассчитывается по формуле

$$E_{IK} = \langle \text{IMK} | H | \text{IMK} \rangle = \frac{\int_0^\pi d\beta \sin \beta d_{KK}^I(\beta) \langle \Phi_{K\sigma} | H R_y(\beta) | \Phi_{K\sigma} \rangle}{\int_0^\pi d\beta \sin \beta d_{KK}^I(\beta) \langle \Phi_{K\sigma} | R_y(\beta) | \Phi_{K\sigma} \rangle} \quad /5/$$

где

$$d_{KK}^I(\beta) = D_{KK}^I(a=0, \beta, \gamma=0).$$

В работе /11/ выводятся приближенные выражения для интегралов перекрытия

$$\langle \Phi_{K\sigma} | H R_y(\beta) | \Phi_{K\sigma} \rangle = (h_0(K, \sigma) + h_1(K, \sigma) \sin^2 \beta) n_{K\sigma}(\beta), \quad /6/$$

$$\langle \Phi_{K\sigma} | R_y(\beta) | \Phi_{K\sigma} \rangle = n_{K\sigma}(\beta) = d_{KK}^\sigma(\beta) \langle \Phi_0 | R_y(\beta) | \Phi_0 \rangle, \quad /7/$$

$$d_{KK}^\sigma(\beta) = \langle \phi_{K\sigma} | \exp(-i\beta j_y) | \phi_{K\sigma} \rangle, \quad /8/$$

где  $\phi_{K\sigma}$  - деформированное одночастичное состояние, а проекция углового момента  $j_y$  действует только на  $\phi_{K\sigma}$ . Фактор  $\langle \Phi_0 | R_y(\beta) | \Phi_0 \rangle$  в формуле /7/ представляет собой интеграл перекрытия для четно-четного остова, и для него используется приближение /2а/, которое обсуждалось во втором разделе. Выражение /6/ получалось в том же самом приближении. В работе /11/ показано, что степенное разложение по  $\sin^2 \beta$  приводит к следующему выражению для интеграла перекрытия:

$$n_{K\sigma}(\beta) = (\cos \frac{\beta}{2})^{2K} (1 + b_0 \sin^2 \frac{\beta}{2}) \exp(-\frac{\sin^2 \beta}{\Delta \beta^2}),$$

$$b_0 = -(1 - \frac{2^{2K}}{(2K)!} a_{PF}), \quad a_{PF} = i \langle \phi_{K\sigma} | j_y^{2K} | \phi_{-K\sigma} \rangle. \quad /9/$$

В отличие от интеграла перекрытия четно-четного ядра /2/, функция  $n_{K\sigma}(\beta)$  не симметрична относительно угла  $\pi/2$ . Поведение функции  $n_{K\sigma}(\beta)$  в окрестности  $\beta=\pi$  определяется коэффициентом  $b_0^{K\sigma}$  /или  $a_{PF}$ /. Для случая полос с  $K=1/2$   $a_{PF}$  равна половине обычного коэффициента развязывания

$$a_{PF}(K=1/2) = \frac{1}{2} \langle \phi_{1/2\sigma} | j_y | \phi_{-1/2\sigma} \rangle.$$

С помощью соотношений /6-9/ получается проекционная формула (PF) для уровней энергии ротационной полосы нечетного ядра

$$E_{IK} = h_0 + h_1 \frac{N_2(I, K, \Delta \beta^2, a_{PF})}{N_0(I, K, \Delta \beta^2, a_{PF})}, \quad /10/$$

$$N_\nu(I, K, \Delta \beta^2, a_{PF}) = \int_0^\pi d\beta (\sin \beta)^{\nu+1} (\cos \frac{\beta}{2})^{2K} d_{KK}^I(\beta) \times \\ \times (1 + b_0 \sin^2 \frac{\beta}{2}) \exp(-\frac{\sin^2 \beta}{\Delta \beta^2}),$$

содержащая 4 параметра:  $h_0, h_1, \Delta \beta^2$  и  $a_{PF}$ , которые имеют следующий смысл:  $h_0$  определяет энергию основного состояния полосы,  $-2/h_1 \Delta \beta^4$  - момент инерции,  $\Delta \beta^2$  - мера неадиабатичности и  $a_{PF}$  - обобщенный параметр развязывания. Чтобы установить связь с ротационной формулой ВМ, рассмотрим адиабатический случай, когда  $[I(I+1) - K^2] / \Delta \beta^4 \ll 1$  и справедливо разложение по степеням этого параметра. Из соотношения /10/ следует /10/

$$E_{IK} = E_0 + A[I(I+1) - K^2] + B[I(I+1) - K^2]^2 + C[I(I+1) - K^2]^3 + \dots$$

$$+ (-1)^{I+K} \frac{(I+K)!}{(I-K)!} \{ A_{2K} + B_{2K} [I(I+1) - K^2] + \dots \},$$

где

/11/

$$A = \frac{1}{4} h_1 \Delta \beta^4, \quad A_{2K} = - \frac{a_{PF} h_1 (\Delta \beta^2)^{2K+1}}{(2K-1)2^{2K}},$$

$$B = \frac{h_1 (1+2K-2b_0) \Delta \beta^8}{64},$$

#### 4. Обсуждение результатов

Для расчета спектра по формуле /10/ интегралы  $N_\nu(I, K, \Delta \beta^2, a_{PF})$  вычислялись методом Симпсона. Специфика ротационного спектра определяется интегралом перекрытия  $n_{K\sigma}(\beta)$ . Типичная зависимость  $n_{K\sigma}(\beta)$  от  $\beta$  для  $K=1/2$  представлена на рис. 1. Максимум /если  $a_{PF} > 0$  / функции  $n_{K\sigma}(\beta)$  при  $\beta \approx \pi - \frac{1}{\sqrt{2}} \Delta \beta$  приводит к попеременному сдвигу энергии  $E_{IK}$  вверх или вниз относительно  $I(I+1)$ -спектра в соответствии с поведением функции  $d_{IK}(\beta)$ . В методе проецирования, в отличие от обыкновенного развязывания, этот эффект появляется и при  $K > 1/2$ . Он заметен в тех случаях, когда одночастичная функция  $\phi_{K\sigma}$  содержит значительную компоненту сферического состояния с большим угловым моментом. Полоса  $5/2^- [532]$  в  $^{155}\text{Tb}$  /рис. 2/ является хорошим примером.

В тех случаях, когда деформированное состояние заведомо не имеет такой простой структуры, как в выражении /4/ /сильное смешивание полос, переходные ядра/, интегралы перекрытия в разумном приближении все еще имеют такой же вид, как и кривая, представленная на рис. 1. Следовательно, мы также можем исполь-

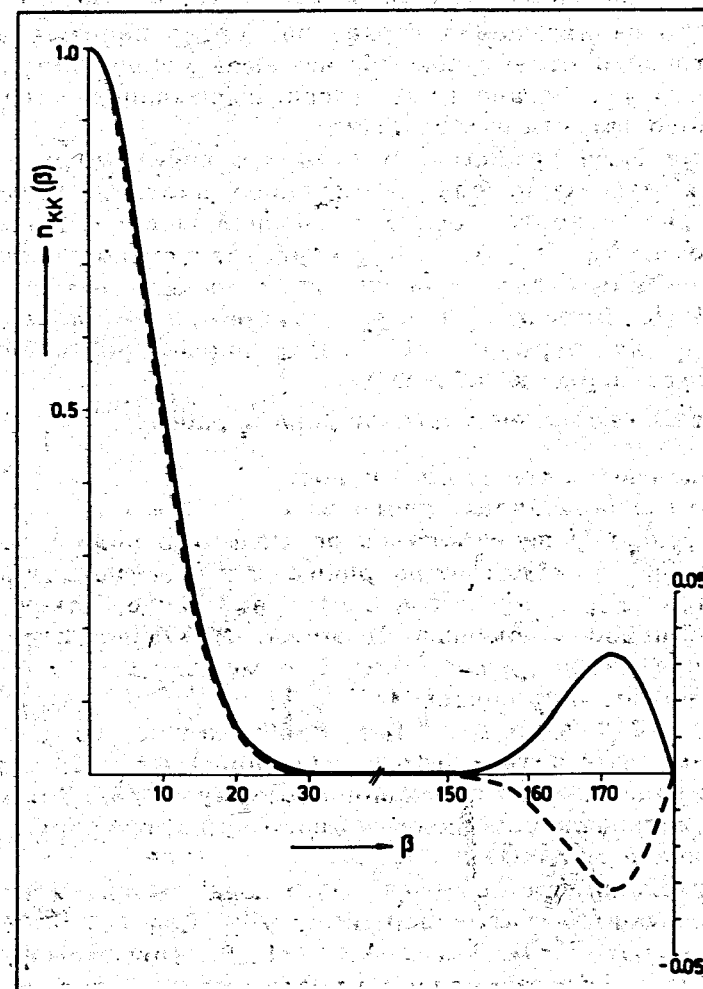


Рис. 1. Интегралы перекрытия  $n_{K\sigma}(\beta)$ , рассчитанные по формуле /9/; параметры  $\Delta \beta^2$  и  $a_{PF}$  определены подгонкой по четырем уровням. Сплошная кривая - полоса  $1/2^- [521]$  в  $\text{Hf } ^{175}$ . Пунктирная кривая - полоса  $1/2^+ [411]$  в  $^{167}\text{Tm}$ .

зовать нашу параметризацию /10/. Но в этом случае параметр развязывания теряет непосредственную связь с внутренней структурой, выражаемой уравнением /9/. Параметр  $a_{PF}$  становится мерой смешивания полос и истинного эффекта развязывания.

Нами были проанализированы все нечетные ядра из области редких земель и несколько переходных ядер, в которых известно более 5 уровней полос с  $K \leq 11/2$ . Параметры  $h_0$ ,  $A$ ,  $\Delta\beta^2$ ,  $A_{2K}$  определялись подгонкой к наиболее известным уровням /как правило,  $I=K, K+1, K+2, K+3$ /. Вместо  $h_1$  и  $a_{PF}$  мы применяем параметр  $A$  и  $A_{2K}$  из формулы /11/. Полученные ротационные параметры даны в таблице 1.

Полная сводка результатов дана в работе /11/.

Выделяются три группы полос:

A/ почти адиабатические полосы

К этой группе относится большинство полос; параметр  $1/\Delta\beta^2 > 13$ , момент инерций  $1/2A$  и коэффициент развязывания  $a_{PF}$  получаются почти такими же, как и при анализе полос с помощью формулы ВМ. Однако спектры воспроизводятся лучше, чем с помощью ВМ. К этой группе относятся полосы  $1/2^- [521]$  в  $^{175}\text{Hf}$ ,  $3/2^+ [411]$  в  $^{159}\text{Tb}$  и  $7/2^- [523]$  в  $^{167}\text{Tm}$ , изображенные на рис. 2. Отметим, что четно-четные ядра при  $1/\Delta\beta^2 > 13$  также хорошо описываются проекционной формулой /3/. Для этих полос оправдывается предположение о простой структуре внутреннего состояния.

Несколько полос с  $1/\Delta\beta^2 < 13$  также относятся к этой группе, если  $K > 7/2$ ; например,  $9/2^- [514]$  в  $^{181}\text{Re}$  и  $^{183}\text{Re}$  /  $1/\Delta\beta^2 = 10,4$  и  $1/\Delta\beta^2 = 11,8$ /. При этом функция  $d_{KK}^\sigma(\beta)$  быстро падает с ростом угла  $\beta$  и существенен только вклад  $n_{K\sigma}(\beta)$  около  $\beta=0$ , как и при  $1/\Delta\beta^2 > 13$ .

B/ сильно возмущенные полосы

Четко выделяются полосы со значением  $1/\Delta\beta^2$  в пределах  $8 < 1/\Delta\beta^2 < 13$  и  $K \leq 7/2$ , которые относятся к сильно возмущенным полосам. Сильное смешивание возникает, как известно /12/, для одночастичных состояний, происходящих из сферических подболочек  $h_{11/2}, i_{13/2}$  /напри-

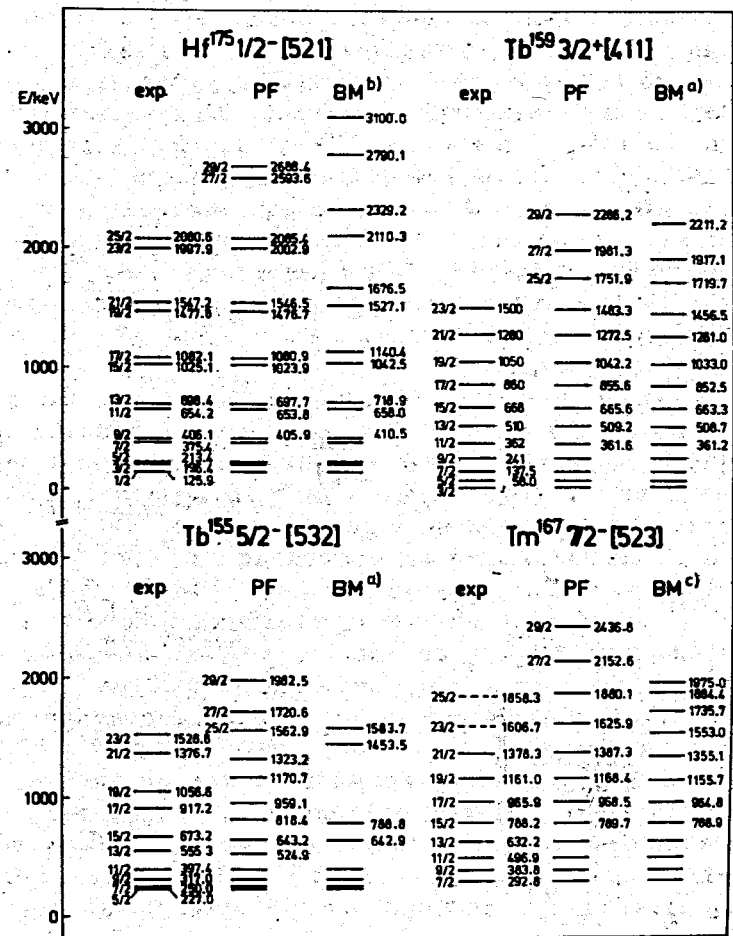


Рис. 2. Экспериментальные и рассчитанные /методами PF и ВМ/ ротационные полосы  $1/2^- [521]$   $^{175}\text{Hf}$ ,  $3/2^+ [411]$   $^{159}\text{Tb}$ ,  $5/2^- [532]$   $^{155}\text{Tb}$ ,  $7/2^- [523]$   $^{167}\text{Tm}$ .

(BM<sup>a</sup>) :  $B_{2K} = C = 0$ , (BM<sup>b</sup>) :  $B = C = 0$ ,

(BM<sup>c</sup>) :  $A_{2K} = B_{2K} = 0$ .



мер,  $5/2^- [532]$  в  $^{155,157}\text{Tb}$  и  $7/2^+ [633]$  в  $^{171-175}\text{Hf}$ /. Естественно, что для этих полос наш метод, не учитывающий в явном виде смешивание состояний с различными значениями  $K$ , дает худший результат. Однако и в этих случаях общая картина /дублетная структура при  $K \neq 1/2$ / передается проекционной формулой. Примером служит полоса  $5/2^- [532]$  в ядре  $^{155}\text{Tb}$  /рис. 2/. Здесь действует уже обсужденный эффект развязывания.

К этой группе относятся также некоторые полосы, в которых связь полос с  $|K-K'| > 1$  важна из-за близкого расположения уровней  $E_{IK}$  и  $E_{IK'}$ , хотя  $1/\Delta\beta^2 > 13/13$ /. В этом случае отдельные состояния вблизи  $E_{IK}$  плохо описываются в нашей модели.

В/ переходные ядра

Как уже отмечалось, четно-четные переходные ядра с квазиротационным спектром хорошо описываются проекционной формулой <sup>3/</sup> так же как и ряд нечетных переходных ядер. В этом случае  $1/\Delta\beta^2 < 8$ . На рис. 3 представлена квазиротационная полоса в ядре  $^{43}\text{Sc}/^{14}/$ , построенная на возбужденном состоянии с  $K^\pi = 3/2^+$ . Подобные результаты получаются для ядер  $^{45}\text{Sc}/^{14}/$ ,  $^{43}\text{Ca}/^{15}/$  и  $^{45}\text{Ti}/^{24}/$ . При подгонке квазиротационной полосы в  $^{43}\text{Sc}$  по положению уровней со спином  $I=3/2, 5/2, 7/2, 9/2$  получается необычно маленькое значение параметра  $1/\Delta\beta^2$ , равное 1,6. При включении в подгоночную процедуру всех уровней вплоть до  $I=13/2$  получается  $1/\Delta\beta^2 = 2,5$  и  $A = 131$  кэВ. При этом максимальное отклонение от экспериментальных энергий составляет  $|\Delta E|_{\text{max}} = 35$  кэВ. Интересно отметить, что таким образом были вычислены энергии уровней со спином  $I=13/2, 15/2$ , более позднее экспериментальное определение которых показало, что отклонение вычисленных значений от экспериментальных составляет 150 кэВ. Отметим, что феноменологическая формула ВМ для интерпретации этих спектров не пригодна: предсказываемые ею уровни  $13/2^+$  и  $15/2^+$  находятся ниже уровня  $11/2^+$ . На рис. 4 представлены квазиротационная полоса в ядре  $^{117}\text{In}$ , построенная на возбужденном состоянии с  $K^\pi = 1/2^+ /^{16}/$ . Возможно, что и для ядра  $^{117}\text{In}$  удастся обнаружить дальнейшие квазиротационные состояния.

Приведенные примеры показывают, что предложенная для ротационных спектров нечетных ядер феноменологическая формула может служить довольно надежной экстраполяционной формулой. Отметим в этой связи устойчивость процедуры при подгонке, когда увеличение числа подгоняемых уровней приводит к незначительному изменению параметров. Этой формулой можно пользоваться при микроскопическом описании /учет смешивания конфигураций, расчет параметров/.

Считаем нашим приятным долгом поблагодарить за ценные дискуссии и замечания Г. Винтера, Г. Зодана, К. Кауна, П. Кемнитца, В. В. Пашкевича, Н. И. Пятова и Л. Функе.

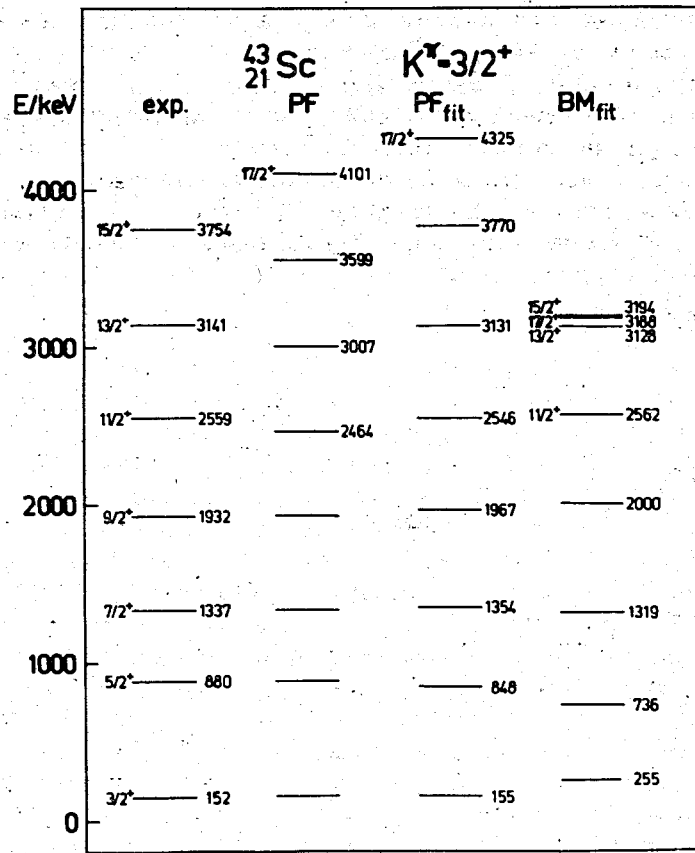


Рис. 3. Экспериментальная и рассчитанная квазиротационная полоса  $K^\pi = 3/2^+$  ядра  $^{117}\text{In}$ . PF<sub>fit</sub> и BM<sub>fit</sub> представляют результат подгонки по 6 нижним уровням.

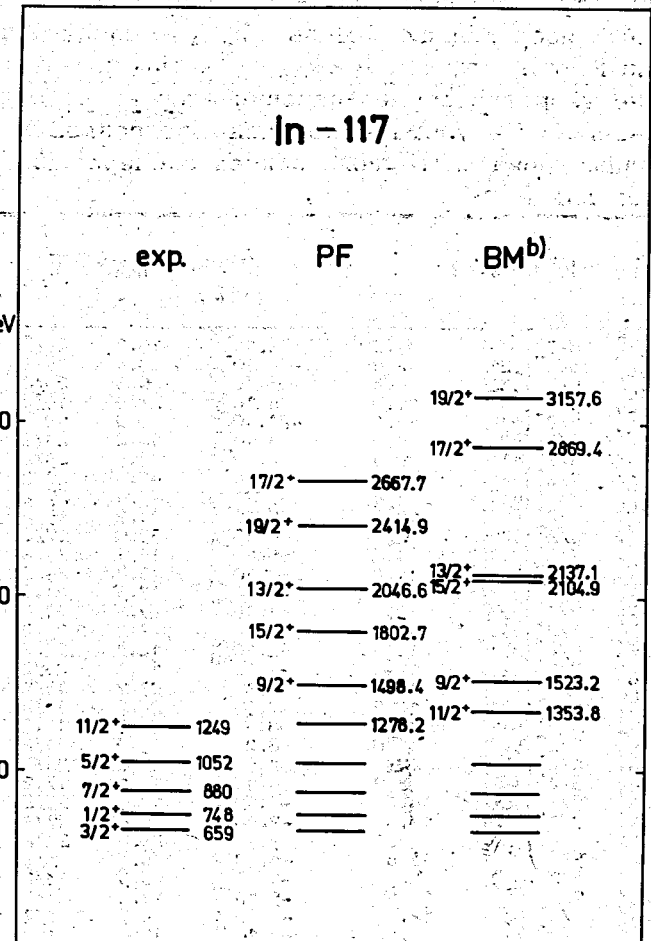


Рис. 4. Экспериментальная и рассчитанная схемы уровней для квазиротационной полосы  $K^\pi = 1/2^+$  в  $^{117}\text{In}$  с использованием методов PF и BM<sup>b)</sup>. Значения параметров PF:  $A = 22,9$  кэВ,  $A_{2K} = -41,83$  кэВ;  $1/\Delta\beta^2 = 9,6$ ; BM:  $A = 22,5$  кэВ,  $A_{2K} = -56,43$  кэВ,  $B_{2K} = 0,51$  кэВ.

Таблица 1

Параметры проекционной модели ротационных полос нечётных ядер редких земель ( $I_{\max}$  - максимально измеренный спин полосы,  $|\Delta E|_{\max}$  - максимальное отклонение теоретического значения энергии от экспериментального). Результаты получены подгонкой к четырем нижним уровням. Полный список экспериментальных работ дан в [11].

Ядра	$K^{\pi} [N_1, N_2]$	A (кэВ)	$A_{2k}$ (кэВ)	$1/\Delta\beta^2$	$I_{\max}$	$ \Delta E _{\max}$ (кэВ)
Tb <sup>155</sup>	3/2 <sup>+</sup> [411]	11.8	9.10 <sup>-3</sup>	19.9	23/2	11.9
Gd <sup>155</sup>	5/2 <sup>+</sup> [521]	12.8	-14.10 <sup>-3</sup>	27.4	15/2	28.0
Tb <sup>157</sup>	5/2 <sup>+</sup> [532]	14.5	-33.10 <sup>-3</sup>	8.8	23/2	206.0
Tb <sup>157</sup>	3/2 <sup>+</sup> [411]	10.9	8.10 <sup>-5</sup>	21.9	19/2	4.0
Tb <sup>157</sup>	5/2 <sup>+</sup> [532]	17.0	-21.10 <sup>-5</sup>	10.9	19/2	47.0
Po <sup>157</sup>	7/2 <sup>+</sup> [523]	14.5	-1.10 <sup>-8</sup>	16.2	25/2	214.6
Tb <sup>159</sup>	3/2 <sup>+</sup> [411]	10.5	6.10 <sup>-3</sup>	22.5	23/2	16.7
Ho <sup>161</sup>	7/2 <sup>+</sup> [523]	22.4	-2.10 <sup>-10</sup>	43.7	27/2	358.8
Ho <sup>161</sup>	1/2 <sup>+</sup> [411]	11.6	-7.7	22.4	27.2	19.8
Ho <sup>161</sup>	3/2 <sup>+</sup> [411]	10.5	58.10 <sup>-3</sup>	14.2	15/2	59.0
Er <sup>161</sup>	3/2 <sup>+</sup> [521]	12.8	-7.10 <sup>-3</sup>	55.0	17/2	29.7
Ho <sup>161</sup>	7/2 <sup>+</sup> [404]	14.2	-5.10 <sup>-9</sup>	14.1	25/2	28.2
Ho <sup>161</sup>	7/2 <sup>+</sup> [523]	14.2	-3.10 <sup>-9</sup>	18.8	29/2	11.3
Ho <sup>165</sup>	7/2 <sup>+</sup> [523]	14.2	-5.10 <sup>-10</sup>	17.6	21.2	3.0
Ho <sup>165</sup>	7/2 <sup>+</sup> [523]	11.3	-1.10 <sup>-10</sup>	27.9	21.2	3.9
Tm <sup>167</sup>	1/2 <sup>+</sup> [411]	11.6	-8.4	23.4	23/2	49.2
Tm <sup>167</sup>	7/2 <sup>+</sup> [404]	15.4	-2.10 <sup>-8</sup>	12.4	23/2	2.5
Tm <sup>167</sup>	7/2 <sup>+</sup> [523]	14.5	-1.10 <sup>-8</sup>	13.2	25/2	21.8
Tm <sup>169</sup>	1/2 <sup>+</sup> [411]	11.6	-9.3	23.7	15/2	18.0
Yb <sup>171</sup>	1/2 <sup>+</sup> [521]	10.6	7.9	24.7	11/2	2.9
Lu <sup>171</sup>	1/2 <sup>+</sup> [411]	12.6	-8.4	28.5	19/2	25.4
Hf <sup>171</sup>	1/2 <sup>+</sup> [521]	11.0	8.2	19.9	21/2	69.9
Lu <sup>171</sup>	1/2 <sup>+</sup> [541]	7.1	34.9	40.2	25/2	351.7
Lu <sup>171</sup>	5/2 <sup>+</sup> [402]	8.7	6.10 <sup>-10</sup>	15.1	17.2	11.6
Lu <sup>171</sup>	7/2 <sup>+</sup> [404]	14.0	-4.10 <sup>-7</sup>	19.5	23/2	2.3
Hf <sup>173</sup>	7/2 <sup>+</sup> [633]	11.9	-2.10 <sup>-7</sup>	8.8	27/2	426.6
Hf <sup>173</sup>	1/2 <sup>+</sup> [521]	11.5	9.1	23.0	25/2	26.9
Lu <sup>173</sup>	5/2 <sup>+</sup> [402]	13.8	-4.10 <sup>-6</sup>	18.5	19/2	7.2
Hf <sup>173</sup>	5/2 <sup>+</sup> [512]	13.9	-5.10 <sup>-6</sup>	20.5	23/2	22.6
Lu <sup>173</sup>	7/2 <sup>+</sup> [404]	15.1	-5.10 <sup>-9</sup>	16.3	21/2	6.8
Hf <sup>173</sup>	7/2 <sup>+</sup> [633]	12.3	-1.10 <sup>-7</sup>	9.7	27/2	310.8
Lu <sup>175</sup>	9/2 <sup>+</sup> [514]	15.4	-2.10 <sup>-12</sup>	17.1	21/2	3.0
Hf <sup>175</sup>	1/2 <sup>+</sup> [521]	12.1	8.7	22.7	25/2	5.0
Hf <sup>175</sup>	5/2 <sup>+</sup> [512]	12.9	-4.10 <sup>-6</sup>	22.9	25/2	22.2
Hf <sup>175</sup>	7/2 <sup>+</sup> [633]	13.6	-1.10 <sup>-7</sup>	10.9	27/2	181.5
Ta <sup>177</sup>	5/2 <sup>+</sup> [402]	14.7	-5.10 <sup>-8</sup>	16.8	15/2	0.4
Ta <sup>177</sup>	7/2 <sup>+</sup> [404]	17.5	-3.10 <sup>-12</sup>	12.2	19/2	3.4
Ta <sup>179</sup>	9/2 <sup>+</sup> [514]	17.1	-7.10 <sup>-12</sup>	13.9	23/2	2.7
Ta <sup>179</sup>	5/2 <sup>+</sup> [402]	16.6	-2.10 <sup>-5</sup>	13.9	17/2	6.2
Ta <sup>179</sup>	7/2 <sup>+</sup> [404]	16.1	-3.10 <sup>-9</sup>	16.7	19/2	3.3
Ta <sup>179</sup>	9/2 <sup>+</sup> [514]	17.1	-5.10 <sup>-6</sup>	14.3	21/2	0.4
Re <sup>181</sup>	5/2 <sup>+</sup> [402]	14.9	3.10 <sup>-11</sup>	16.7	19/2	20.6
Re <sup>183</sup>	9/2 <sup>+</sup> [514]	20.1	-6.10 <sup>-11</sup>	10.4	19/2	1.8
Re <sup>183</sup>	5/2 <sup>+</sup> [402]	15.1	2.10 <sup>-6</sup>	21.6	21/2	1.9
Re <sup>183</sup>	9/2 <sup>+</sup> [514]	20.5	-3.10 <sup>-11</sup>	11.8	21/2	12.2
Os <sup>185</sup>	1/2 <sup>+</sup> [510]	11.5	-1.1	24.9	21/2	260.7

## Литература

1. G.Ripka. in *Advances in Nucl. Physics* Vol. 1, eds. M.Baranger and E. Vogt (Plenum Press, Inc., New York, 1968).
2. N.Onishi, R.K.Sheline and S.Yoshida. *Phys.Rev.*, C2, 1304 (1970).
3. S.Frauentorf, D.Janssen and L.Munchow. *Jadernaya Fizika*, 12, 939 (1970).
4. P.Haapakoski, T.Honkaranta and P.O.Lipas. *Phys.Lett.*, 31B, 493 (1970).
5. S.Frauentorf, D.Janssen and L.Munchow. *Phys.Lett.*, 34B, 469 (1971).
6. O.Nathan and S.G.Nilsson. in *Alpha-, beta- and gamma ray spectroscopy*, ed. K.Siegbahn. (North-Holland, Amsterdam, 1965).
7. S.Frauentorf, Thesis, Technische Universität Dresden, 1971.
8. M.A.J.Mariscotti, G.Scharf-Goldhaber, B.Buck. *Phys.Rev.*, 178, 1864 (1969).
9. A.Johnson, Z.Szymanski. *Phys.Report*, 7C, 183 (1973).
10. B.J.Verhaar. *Nucl.Phys.*, 45, 129 (1963); 54, 641 (1964).
11. B.J.Verhaar. *Nucl.Phys.*, 45, 129 (1963); 54, 641 (1964).
12. F.-R.May, S.Frauentorf and L.Munchow. *ZFK-233* (1972).
13. S.A.Hjorth, H.Ryde, K.A.Hagemann, G.L.vhøiden and J.C.Waddington. *Nucl.Phys.*, A 144, 513 (1972).
14. P.Kemnitz, L.Funke, K.-H.Kaun, H.Sodan and G.Winter. *Phys.Lett.*, 39B, 179 (1972).
15. J.Kownacki, L.Harms-Ringdahl, J.Sztarkier and Z.P.Sawa. *Annual Report 1971, Research Institute for Physics, Stockholm*, S. 101.
16. N.G.Alenius, S.E.Arnell, O.Skeppstedt, E.Wallander and Z.P.Sawa. *Annual Report 1971, Research Institute for Physics, Stockholm*, S. 93.
17. V.R.Pandharipande, K.G.Prasad, R.P.Sharma and B.V.Thosar. *Nucl.Phys.*, A 109, 81 (1969).

Рукопись поступила в издательский отдел  
24 января 1974 года.